

JGS	0520	土の三軸試験の供試体作製・設置
-----	------	-----------------

調査件名 \_\_\_\_\_ 試験年月日 \_\_\_\_\_

試料番号 (深さ) No. 2 T-1 (6.60~7.40m) \_\_\_\_\_ 試験者 \_\_\_\_\_

供試体を用いる試験の基準番号と名称 JGS 0521 土の非圧密非排水(UU)三軸圧縮試験

試料の状態 <sup>1)</sup>	乱さない	土粒子の密度 $\rho_s$ <sup>3)</sup> g/cm <sup>3</sup>	2.709
供試体の作製 <sup>2)</sup>	トリミング法	液性限界 $W_L$ % <sup>4)</sup>	51.5
土質名称		塑性限界 $W_P$ % <sup>4)</sup>	27.8

供試体 No.		1	2	3	
初期状態	直径 cm	4.98	4.98	4.97	
	平均直径 $D_i$ cm	4.98	4.98	4.98	
	高さ cm	9.94	9.93	9.93	
	平均高さ $H_i$ cm	9.94	9.93	9.93	
	体積 $V_i$ cm <sup>3</sup>	193.61	193.42	193.42	
	含水比 $w_i$ %	49.8	48.6	52.0	
	質量 $m_i$ g	329.72	333.41	329.11	
	湿潤密度 $\rho_{wi}$ <sup>3)</sup> g/cm <sup>3</sup>	1.703	1.724	1.702	
	乾燥密度 $\rho_{di}$ <sup>3)</sup> g/cm <sup>3</sup>	1.137	1.160	1.120	
	間隙比 $e_i$ <sup>3)</sup>	1.383	1.335	1.419	
	飽和度 $S_{ri}$ <sup>3)</sup> %	97.5	98.6	99.3	
	相対密度 $D_{ri}$ <sup>3)</sup> %				
	設置・飽和過程	軸変位量の測定方法	外部変位計によって測定		
		設置時の軸変位量 cm	0.00	0.00	0.00
飽和過程の軸変位量 cm		0.00	0.00	0.00	
軸変位量 $\Delta H_i$ <sup>5)</sup> cm		0.00	0.00	0.00	
体積変化量の測定方法		計算による			
設置時の体積変化量 cm <sup>3</sup>		0.00	0.00	0.00	
圧密前(試験前)	飽和過程の体積変化量 cm <sup>3</sup>	0.00	0.00	0.00	
	体積変化量 $\Delta V_i$ <sup>5)</sup> cm <sup>3</sup>	0.00	0.00	0.00	
	高さ $H_0$ cm	9.94	9.93	9.93	
	直径 $D_0$ cm	4.98	4.98	4.98	
	体積 $V_0$ cm <sup>3</sup>	193.61	193.42	193.42	
	乾燥密度 $\rho_{d0}$ <sup>3)</sup> g/cm <sup>3</sup>	1.137	1.160	1.120	
炉乾燥後	間隙比 $e_1$ <sup>3)</sup>	1.383	1.335	1.419	
	相対密度 $D_{r0}$ <sup>3)</sup> %				
	容器 No.	814	874	907	
	(炉乾燥供試体+容器)質量 g	320.17	324.39	316.55	
炉乾燥後	容器質量 g	100.00	100.00	100.00	
	炉乾燥質量 $m_s$ g	220.17	224.39	216.55	

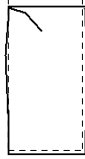
- 特記事項
- 1) 試料の採取方法, 試料の状態 (塊状, 凍結, ときほぐされた) 等を記載する。
  - 2) トリミング法, 負圧法の種別, 凍結試料の場合は解凍方法等を記載する。
  - 3) 必要に応じて記載する。
  - 4) 必要に応じて粘性土の場合は液性限界, 塑性限界, 砂質土の場合は最小乾燥密度, 最大乾燥密度等を記載する。
  - 5) 設置時の変化と飽和過程および  $B$  値測定過程での変化を合わせる。

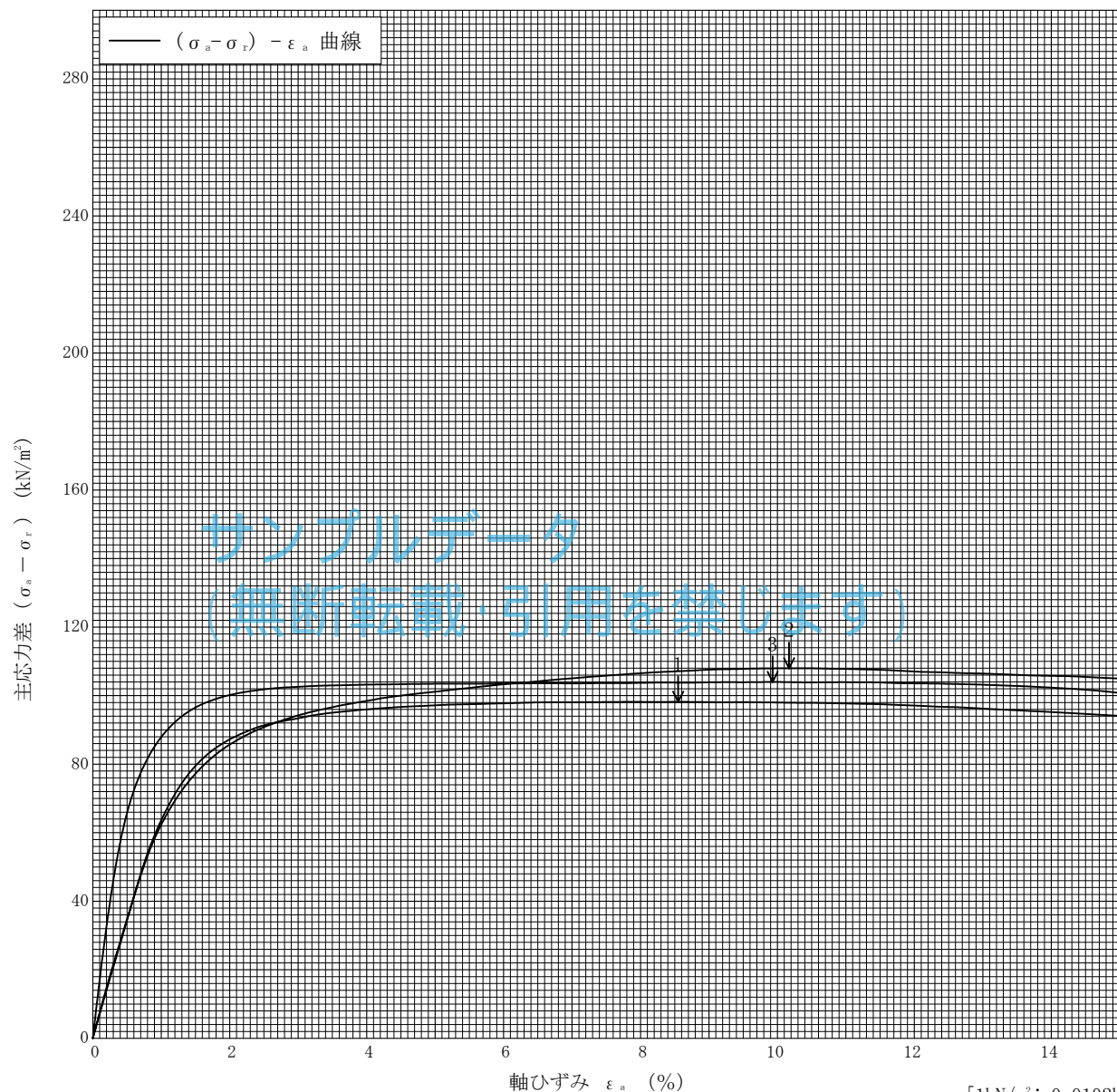
調査件名

試験年月日

試料番号 (深さ) No. 2 T-1 (6.60~7.40m)

試験者

土質名称		供試体 No.	1	2	3	
液性限界 $W_L$ %	51.5	セル圧・圧密応力 $kN/m^2$	50.0	100.0	200.0	
塑性限界 $W_p$ %	27.8	背 圧 $u_b$ $kN/m^2$	0.0	0.0	0.0	
ひずみ速度 %/min	1.00	圧縮強さ $(\sigma_a - \sigma_r)_{max}$ $kN/m^2$	98.2	108.0	104.0	
特記事項 1) 必要に応じて粘性土の場合は液性限界, 塑性限界, 砂質土の場合は最小乾燥密度, 最大乾燥密度等を記載する。		軸ひずみ $\epsilon_{af}$ %	8.55	10.17	9.93	
		CU 間隙水圧 $u_f$ $kN/m^2$				
		有効軸方向応力 $\sigma'_{af}$ $kN/m^2$				
		有効側方向応力 $\sigma'_{rf}$ $kN/m^2$				
		CD 体積ひずみ $\epsilon_{vf}$ %				
		間隙比 $e_f$				
供試体の破壊状況						



調査件名 \_\_\_\_\_ 試験年月日 \_\_\_\_\_

試料番号 (深さ) No. 2 T-1 (6.60~7.40m) 試験者 \_\_\_\_\_

強度定数 応力範囲	全 応 力			有 効 応 力	
	$c_u$ kN/m <sup>2</sup>	$\phi_u$ °	$\tan \phi_u$	$c'$ kN/m <sup>2</sup>	$\phi'$ °
正規圧密領域	51.7	0.00	0.000		
過圧密領域					



特記事項